

ГХ-ПЕРЕНОС В РЕАЛЬНОМ ПРОСТРАНСТВЕ: ВКЛАД РАССЕЯНИЯ НА МЕЖДОЛИННЫХ ФОНОНАХ

Грибников З. С., Райчев О. Э.

Рассчитан коэффициент прохождения Г-электронов, падающих на резкую гетерограницу, пройдя которую они становятся X-электронами. Этот переход может быть как бесфононным, так и с приграничным поглощением или испусканием междолинного фона. В последних случаях расчет может быть выполнен в рамках метода эффективной массы; результаты такого расчета показывают, что вклад этого процесса как качественно (энергетические и температурные зависимости), так и количественно близок к бесфоновому вкладу. Бесфононный вклад учтен на основе полуфеноменологической модели, удовлетворительно подтверждаемой микротеорией. ГХ-переход в реальном пространстве может быть эффективен в приборах с N-ОДП. Обсуждены способы экспериментального разделения вкладов от указанных выше механизмов ГХ-переноса.

1. Начиная с первых работ [1, 2] перенос электронов в реальном пространстве рассматривался всегда с сохранением типа долины: Г-электроны при переносе через гетеропереход оставались Г-электронами, а X-электроны оставались X-электронами. Такое описание адекватно в тех случаях, когда последовательность расположения долин на энергетической шкале слева и справа от гетероперехода одна и та же, что отвечает, например, случаю $\text{GaAs}/\text{Al}_x\text{Ga}_{1-x}\text{As}$ -перехода при $x < 0.45$. Однако при $x > 0.45$ эта последовательность в данной гетеропаре нарушается, и по мере роста x все настоятельнее необходимо учитывать переходы с изменением типа долины на самой поверхности гетероперехода.

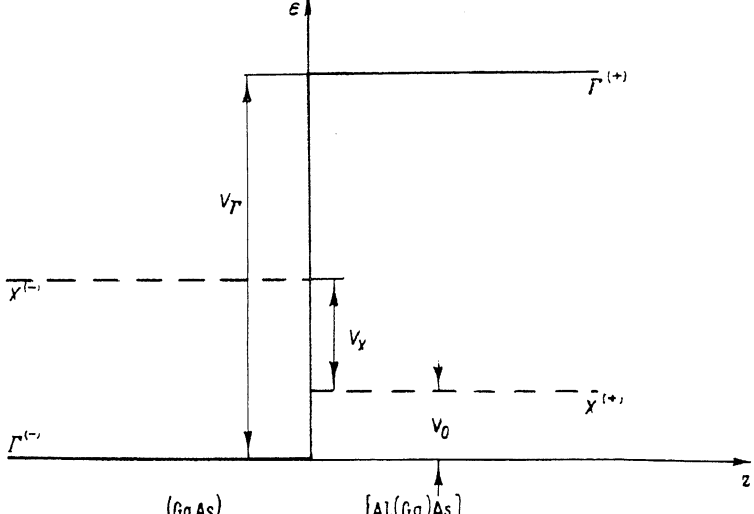
Отметим, что при практическом использовании переноса в реальном пространстве для получения N-образных ВАХ и приборов типа ганновских диодов [1, 2] применение гетеропар с ГХ-переходом может оказаться существенно эффективнее, поскольку при таком переходе резко — во много раз — увеличивается эффективная масса электрона, так что должно резко увеличиться отношение $I_{\text{peak}}/I_{\text{valley}}$ (максимального и минимального токов на участке N-ОДП). При этом все практические преимущества переноса в реальном пространстве — технологически управляемый подбор параметров ВАХ — сохраняются.

Выделим два типа междолинных переходов на гетерогранице. Первый тип — непосредственные переходы на резкой гетерогранице, связанные с возможностью сколь угодно сильного изменения при взаимодействии с границей поперечного волнового вектора k_z (при неизменной полной энергии и продольном волновом векторе $\mathbf{k} = \mathbf{k}_{||}$). Такие переходы с недавних пор привлекаются для описания туннельного тока через ГХГ- и ГХГХГ-структуры, в которых в качестве Г-материала обычно выступает GaAs, а в качестве X-материала либо AlAs, либо $\text{Al}_x\text{Ga}_{1-x}\text{As}$ при $x > 0.45$ (см., например, [3–5]). Вероятности этих переходов, как правило, рассчитываются численно с применением метода псевдопотенциала. Подобные расчеты [3] указывают на существенную величину вклада ГХ-переходов.

Второй тип междолинных переходов на границе — приповерхностное междолинное рассеяние с испусканием или поглощением междолинного фона. Этот вклад может быть рассчитан с использованием метода эффективной массы

и объемных значений константы взаимодействия электрона с междолинным фононом. На возможную роль этого вклада указал, в частности, Прайс [6]. Цель настоящей работы — сравнение вкладов этих двух типов. Учет вклада первого типа (бесфононного) выполнен на основе полуэмпирической модели [7], дающей удовлетворительное согласие с псевдопотенциальными расчетами. Сравниваются значения коэффициентов прохождения электронов через одиночные гетерограницы. Сделан вывод о возможном существенном вкладе фононного рассеяния (которым авторы большинства работ пренебрегают). Указаны возможные способы разделения вкладов каждого из типов переходов.

2. При бесфононном переходе через гетерограницу типа (100) условие сохранения k оставляет возможными переходы только в ту из трех X -долин, чья ось большой массы нормальна гетерогранице (долина X_1). Следуя работе [7],



Энергетическая диаграмма гетероперехода.

рассмотрим прохождение гетерограницы с помощью следующих уравнений:
 $z < 0$ (GaAs)

$$-\frac{\hbar^2}{2m_{\Gamma}^{(-)}} \frac{\partial^2 \Psi_{\Gamma}^{(-)}}{\partial z^2} = \left(\varepsilon - \frac{\hbar^2 k^2}{2m_{\Gamma}^{(-)}} \right) \Psi_{\Gamma}^{(-)}, \quad (1)$$

$$-\frac{\hbar^2}{2M_X^{(-)}} \frac{\partial^2 \Psi_X^{(-)}}{\partial z^2} = \left(\varepsilon - V_0 - V_x - \frac{\hbar^2 k^2}{2m_X^{(-)}} \right) \Psi_X^{(-)}, \quad (2)$$

$z > 0$ (AlGaAs)

$$-\frac{\hbar^2}{2m_{\Gamma}^{(+)}} \frac{\partial^2 \Psi_{\Gamma}^{(+)}}{\partial z^2} = \left(\varepsilon - V_{\Gamma} - \frac{\hbar^2 k^2}{2m_{\Gamma}^{(+)}} \right) \Psi_{\Gamma}^{(+)}, \quad (3)$$

$$-\frac{\hbar^2}{2M_X^{(+)}} \frac{\partial^2 \Psi_X^{(+)}}{\partial z^2} = \left(\varepsilon - V_0 - \frac{\hbar^2 k^2}{2m_X^{(+)}} \right) \Psi_X^{(+)}, \quad (4)$$

решаемых с граничными условиями на гетеропереходе

$$\begin{aligned} \Psi_{\Gamma}^{(-)}(0) &= \Psi_{\Gamma}^{(+)}(0), \quad \Psi_X^{(-)}(0) = \Psi_X^{(+)}(0), \\ -\frac{\hbar^2}{2} \left(\frac{1}{m_{\Gamma}^{(+)}} \frac{\partial \Psi_{\Gamma}^{(+)}}{\partial z} \Big|_{+0} - \frac{1}{m_{\Gamma}^{(-)}} \frac{\partial \Psi_{\Gamma}^{(-)}}{\partial z} \Big|_{-0} \right) + \alpha \Psi_X(0) &= 0; \\ -\frac{\hbar^2}{2} \left(\frac{1}{M_X^{(+)}} \frac{\partial \Psi_X^{(+)}}{\partial z} \Big|_{+0} - \frac{1}{M_X^{(-)}} \frac{\partial \Psi_X^{(-)}}{\partial z} \Big|_{-0} \right) + \alpha \Psi_{\Gamma}(0) &= 0. \end{aligned} \quad (5)$$

В этих формулах и далее под X -долиной понимается одна только X_1 -долина. В уравнениях (1)–(6) $m_{\Gamma}^{(\pm)}$ — масса Γ -электронов, $m_X^{(\pm)}$ — поперечные массы X -электронов, $M_X^{(\pm)}$ — продольные (тяжелые) массы X -электронов; параметры

V_0 , V_Γ , V_X указаны на рисунке. Из микротеории к параметрам метода эффективной массы добавляется один пограничный параметр α , фигурирующий в уравнениях (6). Он дает интенсивность смешивания Γ - и X -состояний на границе и зависит от резкости гетерограницы. Его можно определить из сравнения с экспериментом или же с псевдопотенциальными расчетами. По порядку величины $\alpha \approx (0.1 \div 0.2)$ эВ.Å [7], из этой оценки следует малость вводимой поправки, воспользовавшись которой можно существенно упростить выкладки.

Рассмотрим прохождение электронной волны ($k_z = k_0$) в Γ -долине, падающей слева (см. рисунок) на гетерограницу. Такая волна в силу малости α почти целиком отражается при $\frac{\hbar^2 k_0^2}{2m_{\Gamma}^{(-)}} < V_\Gamma + \frac{\hbar^2 k^2}{2} \left(\frac{1}{m_{\Gamma}^{(+)}} - \frac{1}{m_{\Gamma}^{(-)}} \right)$, однако при $\frac{\hbar^2 k_0^2}{2m_{\Gamma}^{(-)}} > V_0 + \frac{\hbar^2 k^2}{2} \left(\frac{1}{m_X^{(+)}} - \frac{1}{m_X^{(-)}} \right)$ имеет место слабое проникновение Γ -электронов в X -долину, так что коэффициент отражения несколько меньше единицы, а коэффициент прохождения равен

$$T_{\Gamma X} \equiv T_{\Gamma X_1}(k_z, \mathbf{k}) = 1 - R \approx \frac{16\alpha^2}{\hbar^4} \frac{k_0 k'_0}{m_{\Gamma}^{(-)} M_X^{(+)}} \left[\left(\frac{k_0^2}{m_{\Gamma}^{(-)2}} + \frac{g_0^2}{m_{\Gamma}^{(+)2}} \right) \left(\frac{k'_0^2}{M_X^{(+)2}} + \frac{g'^2}{M_X^{(-)2}} \right) \right]^{-1}, \quad (7)$$

где

$$g_0^2 = k^2 + \frac{2m_{\Gamma}^{(+)}}{\hbar^2} (V_\Gamma - \varepsilon_k) > 0, \quad (8)$$

$$k'_0^2 = \frac{2M_X^{(+)}}{\hbar^2} \left(\varepsilon_k - V_0 - \frac{\hbar^2 k^2}{2m_X^{(-)}} \right) > 0, \quad (9)$$

$$g'^2 = \frac{2M_X^{(-)}}{\hbar^2} \left(V_0 + V_X - \varepsilon_k + \frac{\hbar^2 k^2}{2m_X^{(-)}} \right) > 0, \quad (10)$$

$$\varepsilon_k = \frac{\hbar^2 (k^2 + k_0^2)}{2m_{\Gamma}^{(-)}}. \quad (11)$$

Очевидно, что та же формула (7) описывает и коэффициент обратного прохождения для электрона из $X^{(+)}$ -долины с $k_z = -k'_0$ в $\Gamma^{(-)}$ -долину (где прошедший электрон приобретает поперечный волновой вектор k_0).

Обратим здесь внимание на две особенности полученных формул: 1) зависимость $T_{\Gamma X}$ около порога прохождения, определяемого условием (9), имеет вид

$$T_{\Gamma X} \sim \sqrt{\varepsilon_k - V_0 - \hbar^2 k^2 / 2m_X^{(+)}}, \quad (7')$$

2) на пороге прохождения из $\Gamma^{(-)}$ -долины в $X^{(+)}$ -долину попадают только электроны нормального падения. По мере превышения ε_k над порогом V_0 угол входления растет, а при $\varepsilon_k > V_0 \left(1 - \frac{m_{\Gamma}^{(-)}}{m_X^{(+)}} \right)$ ограничения на угол вылета уже касаются не Γ -электронов, а X -электронов, движущихся справа налево (см. рисунок).

Усредненный коэффициент прохождения $T_{\Gamma X}(k, k_z)$ вблизи порога по поверхности, равной энергии $\varepsilon = \varepsilon_k = \hbar^2 (k^2 + k_z^2) / 2m_{\Gamma}^{(-)}$, получим

$$T_{\Gamma X}(\varepsilon) = \frac{\int d^2 k \int_0^\infty dk_z T_{\Gamma X}(\mathbf{k}, k_z) k_z \delta(\varepsilon - \varepsilon_k)}{\int d^2 k \int_0^\infty dk_z k_z \delta(\varepsilon - \varepsilon_k)} \simeq A_{\Gamma X} (\varepsilon - V_0)^{1/2}, \quad (12)$$

где

$$A_{\Gamma X} = \frac{16\alpha^2}{3\hbar^2} \frac{M_X^{(-)} m_X^{(+)}}{(M_X^{(+)}) m_{\Gamma}^{(-)})^{1/2}} \left/ \left(V_X V_0^{1/2} \left[V_0 + \frac{m_{\Gamma}^{(-)}}{m_{\Gamma}^{(+)}} (V_\Gamma - V_0) \right] \right) \right.. \quad (13)$$

Выражение для введенного аналогичным образом обратного коэффициента прохождения (из $X_1^{(+)}$ -долины в $\Gamma^{(-)}$ -долину) $T_{X\Gamma}(\varepsilon)$ имеет вид

$$T_{X\Gamma}(\varepsilon) = A_{\Gamma X} \frac{m_X^{(-)}}{m_X^{(+)}} V_0 (\varepsilon - V_0)^{1/2} = A_{\Gamma X} \frac{m_\Gamma^{(-)}}{m_X^{(+)}} V_0 \varepsilon'^{1/2}, \quad (12')$$

где ε' — энергия, отсчитанная от дна $X^{(+)}$ -долины.

Умножая коэффициенты $T_{\Gamma X}(\varepsilon)$ или $T_{X\Gamma}(\varepsilon)$ на стеночные потоки Γ -или X -электронов с заданной энергией [соответственно $g_\Gamma^{(-)}(\varepsilon) \overline{\nu_{\Gamma z}^{(-)}(\varepsilon)} f_\Gamma^{(-)}(\varepsilon)$ и $g_X^{(+)}(\varepsilon) \times \overline{\nu_{X z}^{(+)}(\varepsilon)} f_X^{(+)}(\varepsilon)$, где $g_{\Gamma, X}(\varepsilon)$ — плотности состояний, $f_{\Gamma, X}(\varepsilon)$ — изотропные составляющие функций распределения, $\overline{\nu_{\Gamma, X z}(\varepsilon)}$ — средние z -компоненты скорости электронов при заданной кинетической энергии ε], получим потоки проходящих электронов при заданной ε ; интегрируя их с $d\varepsilon$, легко получить полные потоки проходящих электронов (в невырожденном случае). Вырождение также нетрудно учесть.

3. При ΓX -переходах с испусканием или поглощением междолинных фононов полностью остаемся в рамках метода эффективной массы и борновского приближения. При этом в Γ -долинах решаем уравнения (1) и (3) с первыми из граничных условий (5) и (6) при $\alpha=0$, а в $X_{1,2}$ -долинах — уравнения (2) и (4) со вторыми из условий (5) и (6) при $\alpha=0$. Аналогичные уравнения решаются и для X_2 -долин, в которых оси больших масс параллельны гетерогранице, лежащей в плоскости типа (100). Между состояниями в $\Gamma^{(-)}$ -долинах и в $X_{1,2}^{(+)}$ -долинах могут быть переходы с участием междолинных фононов, вероятности которых определяются формулами

$$W_{\Gamma X_{1,2}}^{(\pm)}(\mathbf{k}, k_z; \mathbf{k}', k'_z; \mathbf{q}, q_z) = \frac{\pi D_{\Gamma X}^2}{\rho \omega_{\Gamma X} L^3} \left(N_{\Gamma X} + \frac{1}{2} \pm \frac{1}{2} \right) \delta_{\mathbf{k}', \mathbf{k} \mp \mathbf{q}} \times \\ \times \delta(\varepsilon_\Gamma(\mathbf{k}, k_z) - \varepsilon_{X_{1,2}}(\mathbf{k}', k'_z) - V_0 \mp \hbar \omega_{\Gamma X}) \frac{1}{L_z^2} |I_{\Gamma X_{1,2}}^{(\pm)}(k_z, k; k'_z, k'; q_z)|^2, \quad (14)$$

где \mathbf{k} и \mathbf{k}' отсчитываются от центров своих долин, $\omega_{\Gamma X}$ — частота объемного междолинного фона, полагаемая приближенно одинаковой по обе стороны от гетерограницы, (\mathbf{q}, q_z) — волновой вектор фона за вычетом волнового вектора центра X -долины, $N_{\Gamma X}$ — число междолинных фононов, вычисляемое по формуле Планка, $D_{\Gamma X}$ — константа взаимодействия электрона с междолинным фононом (также равная по обе стороны гетероперехода), L^3 — нормировочный объем фона, L_z — нормировочная длина электрона,

$$I_{\Gamma X_{1,2}}^{(\pm)}(k_z, k; k'_z, k'; q_z) = \int_{-\infty}^{\infty} dz F_{X_{1,2}}^*(z) F_\Gamma(z) e^{\mp i q_z z}, \quad (15)$$

$F_\Gamma(z)$ — огибающая волновая функция Γ -электрона, из которой выченен множитель e^{ikr} (где r — двумерный вектор в плоскости гетерограницы), $F_{X_{1,2}}(z)$ — аналогичная функция для $X_{1,2}$ -электрона. На самом деле только $F_\Gamma(z)$ и $F_{X_1}(z)$ не зависят от направления векторов \mathbf{k} и \mathbf{k}' соответственно; функция же $F_{X_2}(z)$, вообще говоря, зависит от направления k' , так что и весь интеграл $I_{\Gamma X}^{(\pm)}$ зависит от этого направления. Оказывается, однако, что эта зависимость несущественна при вычислении $W_{\Gamma X_{1,2}}^{(\pm)}$, если

$$\frac{m_X^{(+)}}{M_X^{(+)}} = \frac{m_X^{(-)}}{M_X^{(-)}}. \quad (16)$$

Для гетеропары GaAs/AlAs равенство (16) приближенно выполняется (см. обзор [8]), хотя и нет видимой причины его достоверности.

Функции $F_{X_{1,2}}(z)$ и $F_\Gamma(z)$ в интересующем нас диапазоне энергий имеют вид стоячих волн (в полупространствах $z > 0$ и $z < 0$ соответственно), экспоненциально затухающих в «чужих» полупространствах. Пространственные периоды осцилляций и длины затухания этих функций определяют величины интегралов (15). В частности, имеем

$$I_{\Gamma X_1}^{(\pm)} = \frac{4k_0 k'_0}{m_{\Gamma}^{(-)} M_X^{(\pm)}} \left[\left(\frac{k'_0}{M_X^{(\pm)}} - \frac{i g'}{M_X^{(\mp)}} \right) \left(\frac{k_0}{m_{\Gamma}^{(-)}} + \frac{i g_0}{m_{\Gamma}^{(\pm)}} \right) \right]^{-1} \times \\ \times \left[\frac{g_0 \pm i q_z + \frac{M_X^{(\pm)}}{M_X^{(\mp)}} g'}{(g_0 \pm i q_z)^2 + k_0'^2} + \frac{g' \mp i q_z + \frac{m_{\Gamma}^{(-)}}{m_{\Gamma}^{(\pm)}} g_0}{(g' \mp i q_z)^2 + k_0^2} \right], \quad (17)$$

где $k_0 = k_z$, $k'_0 = k'_z$, g_0 определяется по формуле (8), в которой $\varepsilon_k = \varepsilon_{\Gamma}(k, k_z) = \hbar^2(k^2 + k_z^2)/2m_{\Gamma}^{(-)}$, а g' определяется с помощью формулы

$$g'^2 = M_X^{(-)} \left[\frac{2V_X}{\hbar^2} - \frac{k_z'^2}{M_X^{(+)}} - k'^2 \left(\frac{1}{m_X^{(-)}} - \frac{1}{m_X^{(+)}} \right) \right]. \quad (10')$$

Для получения $I_{\Gamma X_2}^{(\pm)}$ можно также использовать правую часть (17), заменив там $M_X^{(\pm)}$ на $m_X^{(\pm)}$; при этом сохраняются обозначения $k_0 = k_z$ и $k'_0 = k'_z$, а g' получается с помощью формулы

$$g'^2 = m_X^{(-)} \left[\frac{2V_X}{\hbar^2} - \frac{k_z'^2}{m_X^{(+)}} + k_z'^2 \left(\frac{1}{m_X^{(-)}} - \frac{1}{m_X^{(+)}} \right) + k_y'^2 \left(\frac{1}{M_X^{(-)}} - \frac{1}{M_X^{(+)}} \right) \right] \quad (10'')$$

(или такой же формулы с заменой $k'_x \rightleftharpoons k'_y$).

Полученные вероятности $W_{\Gamma X_{1,2}}^{(\pm)}(k, k_z; k', k'_z; q, q_z)$ имеют размерности обратного времени и могут быть непосредственно использованы для вычисления полных потоков через гетеропереход с помощью формул

$$J_{\Gamma X_{1,2}}^{(\pm)} = \sum_{\substack{\mathbf{k}, k_z; \mathbf{k}', k'_z \\ \mathbf{q}, q_z}} W_{\Gamma X_{1,2}}^{(\pm)}(\mathbf{k}, k_z; \mathbf{k}', k'_z; \mathbf{q}, q_z) \{ f_{\Gamma}^{(>)}(\mathbf{k}, k_z) \times \\ \times (1 - f_{X_{1,2}}^{(<)}(\mathbf{k}', k'_z)) - f_{X_{1,2}}^{(>)}(\mathbf{k}', k'_z) (1 - f_{\Gamma}^{(<)}(\mathbf{k}, k_z)) \}, \quad (18)$$

где $f_{\Gamma}^{(>)}$ (\mathbf{k}, k_z), $f_{\Gamma}^{(<)}$ (\mathbf{k}, k_z) — функции распределения Γ -электронов, падающих на поверхность гетероперехода и летящих от нее в Γ -полупроводнике ($z < 0$), $f_{X_{1,2}}^{(>)}$ (\mathbf{k}', k'_z) и $f_{X_{1,2}}^{(<)}$ (\mathbf{k}', k'_z) — функции распределения X_1 - или X_2 -электронов в X -полупроводнике ($z > 0$), летящих к гетеропереходу и от него соответственно. Ввиду принятого выше предположения о малости проходящего тока, обусловленного либо вычисляемым здесь рассеянием, либо описанным в разделе 2 слабым бесфононным переходом, имеем $f_{\Gamma}(k_z) = f_{\Gamma}(-k_z)$ и $f_{X_{1,2}}(k'_z) = f_{X_{1,2}}(-k'_z)$, т. е. обозначения (\rightleftharpoons) можно опустить. В формуле (18) использованы значения функций распределения на поверхности гетероперехода (слева и справа от него), т. е. предполагается, что пространственное изменение этих функций существенно более плавное, чем затухание волновых функций, определяющее величину $W_{\Gamma X_{1,2}}^{(\pm)}$.

Выражение для полных потоков удобно записать в виде

$$J_{\Gamma X_{1,2}}^{(\pm)} = \sum_{\mathbf{k}, k_z} T_{\Gamma X_{1,2}}^{(\pm)}(\mathbf{k}, k_z) J_{\Gamma}(\mathbf{k}, k_z) + \sum_{\mathbf{k}', k'_z} T_{X_{1,2}\Gamma}^{(\pm)}(\mathbf{k}', k'_z) J_{X_{1,2}}(\mathbf{k}', k'_z), \quad (19)$$

где потоки электронов в долинах определены формулами

$$J_{\Gamma}(\mathbf{k}, k_z) = \frac{f_{\Gamma}^{(>)}}{L_z} v_z^{(\Gamma)}(\mathbf{k}, k_z); \quad J_{X_{1,2}}(\mathbf{k}', k'_z) = \frac{f_{X_{1,2}}^{(>)}}{L_z} v_z^{(X_{1,2})}(\mathbf{k}', k'_z). \quad (20)$$

Здесь $v_z^{(\Gamma)}$ и $v_z^{(X_{1,2})}$ — соответствующие z -компоненты групповых скоростей электронов. Сравнение (19) с (18) позволяет ввести коэффициенты прохождения

$$T_{\Gamma X_{1,2}}^{(\pm)}(\mathbf{k}, k_z) = \frac{L_z}{|v_z^{(\Gamma)}(\mathbf{k}, k_z)|} \sum_{\mathbf{k}', k'_z; \mathbf{q}, q_z} W_{\Gamma X_{1,2}}^{(\pm)}(1 - f_{X_{1,2}}^{(<)}) \quad (21)$$

$$T_{X_{1,2}\Gamma}^{(\pm)}(\mathbf{k}, k_z) = \frac{L_z}{|v_z^{(X_{1,2})}(\mathbf{k}, k_z)|} \sum_{\mathbf{k}, k_z; \mathbf{q}, q_z} W_{X_{1,2}\Gamma}^{(\pm)}(1 - f_{\Gamma}^{(<)})$$

Коэффициенты (21) отличаются от коэффициента (7) по определению искусственным введением множителя $(1-f_{\Gamma})$ или $(1-f_{X_1})$, учитываяющего возможное статистическое вырождение и не появляющегося в одночастичном приближении раздела 2.

В невырожденном случае имеем

$$T_{\Gamma X_1}^{(\pm)}(k, k_z) = \frac{\pi}{(2\pi\hbar)^3} \frac{D_{\Gamma X}^2}{\rho\omega_{\Gamma X}} \left(N_{\Gamma X} + \frac{1}{2} \pm \frac{1}{2} \right) \frac{m_{\Gamma}^{(-)} m_X^{(+)}}{k_z} \int_{-\infty}^{\infty} dq_z \int_0^{k_z'(\pm)_{\max}} dk_z' |I_{\Gamma X_1}^{(\pm)}|^2, \quad (22)$$

где

$$k_z'^{(\pm)2} = \frac{M_X^{(+)}}{m_{\Gamma}^{(-)}} (k^2 + k_z^2) - \frac{2M_X^{(+)}}{\hbar^2} (V_0 \pm \hbar\omega_{\Gamma X}), \quad (23)$$

а вместо формулы (10') для g'^2 следует использовать выражение

$$g'^2 = g_{(\pm)}'^2 = \frac{2V_X M_X^{(-)}}{\hbar^2} + \frac{m_X^{(+)} M_X^{(-)}}{m_X^{(-)} M_X^{(+)}} (k_z'^{(\pm)2} - k_z'^2) - \frac{M_X^{(-)}}{M_X^{(+)}} k_z'^{(\pm)2}. \quad (24)$$

Здесь и далее предполагалось, что $V_X, V_0 > \hbar\omega_{\Gamma X}, V_{\Gamma} - V_0 > \hbar\omega_{\Gamma X}$. Используя (15), нетрудно убедиться в том, что

$$\begin{aligned} \int_{-\infty}^{\infty} dq_z |I_{\Gamma X_1}^{(\pm)}|^2 &= 2\pi \int_{-\infty}^{\infty} dz |\mathcal{F}_{\Gamma}(z)|^2 |\mathcal{F}_{X_1}(z)|^2 = \\ &= \left(\frac{8\pi k_0^2 k_z'^2}{M_X^{(+)} m_{\Gamma}^{(-)2}} \right) \left[\left(\frac{k_z'^2}{M_X^{(+)}2} + \frac{g_{(\pm)}'^2}{M_X^{(-)2}} \right) \left(\frac{k_0^2}{m_{\Gamma}^{(-)2}} + \frac{g_0^2}{m_{\Gamma}^{(+)}2} \right) \right]^{-1} \times \\ &\times \left[\frac{1}{g_{(\pm)}'} + \frac{1}{g_0} + \frac{1}{g_{(\pm)}'} \frac{\left(g_{(\pm)}' + \frac{m_{\Gamma}^{(-)}}{m_{\Gamma}^{(+)}} g_0 \right)^2}{g_{(\pm)}'^2 + k_0^2} + \frac{1}{g_0} \frac{\left(g_0 + \frac{M_X^{(+)}}{M_X^{(-)}} g_{(\pm)}' \right)^2}{g_0^2 + k_0'^2} \right]. \end{aligned} \quad (25)$$

Прохождение электронов, связанное с контактным междолинным рассеянием, начинается с порогового импульса $\hbar k_{\max}' = 0$ или с пороговой энергии

$$V_0^{(\pm)} = \frac{\hbar^2}{2m_{\Gamma}^{(-)}} (k^2 + k_z^2) \Big|_{\text{th}} = V_0 \pm \hbar\omega_{\Gamma X}. \quad (26)$$

При достаточно низких температурах интерес представляют значения $T_{\Gamma X_1}^{(\pm)}$ вблизи порога, т. е. при достаточно малых превышениях энергии Г-электронов над $V_0^{(\pm)}$. При этом в выражении (25) изменением всех величин, кроме $k_0'^2 = k_z'^2$, в первом сомножителе можно пренебречь; тогда

$$T_{\Gamma X_1}^{(\pm)}(k, k_z) \sim (\varepsilon_{\Gamma}(k, k_z) - V_0^{(\pm)})^{3/2}. \quad (27)$$

Хотя детальное пороговое поведение (27) заметно отличается от даваемого формулой (7), однако оно совпадает (с точностью до замены V_0 на $V_0^{(\pm)}$) с усредненным поведением (12). Последнее обусловлено тем, что из-за несохранения продольного импульса (с передачей его фонону) в (27) аналогичное усреднение практически выполнено.

Подобное (22) выражение для $T_{\Gamma X_2}^{(\pm)}(k, k_z)$ нетрудно написать лишь при принятии условия (16). В этом случае достаточно выполнить замены $m_X^{(+)}2$ на $(m_X^{(+)} M_X^{(+)})^2$ в (22); $M_X^{(+)}$ на $m_X^{(+)}2$ и $M_X^{(-)}$ на $m_X^{(-)2}$ в (25) и в определениях (23) и (24) величин $k_z'^{(\pm)2}$ и $g_{(\pm)}'^2$. Очевидно, что на пороге $T_{\Gamma X_2}^{(\pm)}$ отличается от $T_{\Gamma X_1}^{(\pm)}$ только опущенным в (27) коэффициентом.

Обратные коэффициенты прохождения $T_{X_1, 2, \Gamma}^{(\pm)}$, также фигурирующие в выражении (19), нетрудно получить аналогичным образом. Их зависимость от энергии X -электрона $\varepsilon' = \varepsilon_{X_1, 2}^{(\pm)}$ при малых значениях ε' аналогична зависимости (12): $T_{X_1, 2, \Gamma}^{(\pm)} \sim \varepsilon'^{1/2}$.

4. Выполняя по аналогии с (12) усреднение полученных выше выражений для $T_{\Gamma X_1}^{(\pm)}$, (k_x, k_z) и $T_{X_1, \Gamma}^{(\pm)}(k', k'_z)$ вблизи пороговых значений $\varepsilon_1^{(-)} \simeq V_0^{(\pm)}$ и $\varepsilon_X^{(+)} \simeq 0$, получим зависимости $T_{\Gamma X_1}^{(\pm)}(\varepsilon)$ и $T_{X_1, \Gamma}^{(\pm)}(\varepsilon)$, причем $T_{\Gamma X_1}^{(\pm)} \simeq A_{\Gamma X_1}^{(\pm)} (\varepsilon - V_0^{(\pm)})^{\frac{1}{2}}$ [ср. с (12)]. Коэффициенты $A_{\Gamma X_1}^{(\pm)}$ даются несколько громоздкой формулой

$$\begin{aligned}
 A_{\Gamma X_1}^{(\pm)} = & \frac{\sqrt{2} D_{\Gamma X}^2}{3\pi\hbar^2\rho\omega_{\Gamma X}} \left(N_{\Gamma X} + \frac{1}{2} \pm \frac{1}{2} \right) \frac{1}{V_0^{(\pm)} V_X} \frac{M_X^{(-)} m_X^{(\pm)}}{M_X^{(+)} k_l^{(\pm)}} \left\{ \frac{k_m^{(\pm)}}{x} + \right. \\
 & + \frac{2m_\Gamma^{(\pm)}}{m_\Gamma^{(+)} + m_\Gamma^{(-)}} \arcsin \frac{k_m^{(\pm)}}{k_l^{(\pm)}} + \frac{2m_\Gamma^{(-)} x}{(m_\Gamma^{(+)} - m_\Gamma^{(-)})^{1/2} k_l^{(\pm)}} \left[\frac{m_\Gamma^{(+)^2}}{m_\Gamma^{(-)^2}} \beta_1^{(\pm)} + \frac{M_X^{(\pm)}}{M_X^{(-)}} \right] \times \\
 & \times \operatorname{arctg} \left[\frac{k_m^{(\pm)}}{k_l^{(\pm)}} \left(\frac{m_\Gamma^{(+)^2}}{m_\Gamma^{(-)^2}} - 1 \right)^{1/2} \right] - \beta_1^{(\pm)} \left[1 + \left(\frac{x}{k_l^{(\pm)}} \right)^2 + \left(\frac{m_\Gamma^{(+)} x}{m_\Gamma^{(-)} k_l^{(\pm)}} \right)^2 \right] \times \\
 & \times \operatorname{arctg} \frac{k_m^{(\pm)}}{x} + \frac{M_X^{(\pm)}}{M_X^{(-)}} \frac{x}{k_l^{(\pm)}} \ln \left| \frac{k_l^{(\pm)} + k_m^{(\pm)}}{k_l^{(\pm)} - k_m^{(\pm)}} \right| + \beta_2^{(\pm)} \left(\frac{M_X^{(+)} x}{M_X^{(-)} k_l^{(\pm)}} \right)^2 - \\
 & - 2\beta_1^{(\pm)} \frac{m_\Gamma^{(+)^2}}{m_\Gamma^{(-)^2}} \left(\frac{x}{k_l^{(\pm)}} \right)^2 \left(1 + \left(\frac{k_l^{(\pm)}}{x} \right)^2 \right)^{1/2} \operatorname{arctg} \left[\beta_2^{(\pm)} \left(1 + \left(\frac{k_l^{(\pm)}}{x} \right)^2 \right)^{1/2} \right] + \operatorname{arctg} \left(\frac{m_\Gamma^{(+)} x}{m_\Gamma^{(-)} \beta_2^{(\pm)}} \right) \times \\
 & \times \left[\frac{2m_\Gamma^{(+)^2}}{m_\Gamma^{(+)^2} - m_\Gamma^{(-)^2}} \left(\beta_1^{(\pm)} - \frac{m_\Gamma^{(-)}}{m_\Gamma^{(+)}} \right) - \left(\frac{M_X^{(+)} x}{M_X^{(-)} k_l^{(\pm)}} \right)^2 \frac{m_\Gamma^{(-)}}{m_\Gamma^{(+)}} \right], \quad (28)
 \end{aligned}$$

где

$$\begin{aligned}
 k_m^{(\pm)} &= m_\Gamma^{(-)} V_0^{(\pm)}, \quad x^2 = M_X^{(-)} V_X, \quad k_l^{(\pm)^2} = m_\Gamma^{(+)} V_\Gamma - (m_\Gamma^{(+)} - m_\Gamma^{(-)}) V_0^{(\pm)}, \\
 \beta_1^{(\pm)} &= \left[1 + \left(\frac{x}{k_l^{(\pm)}} \right)^2 - \left(\frac{m_\Gamma^{(+)} x}{k_l^{(\pm)} m_\Gamma^{(-)}} \right)^2 \right]^{-1}, \quad \beta_2^{(\pm)} = \left[\left(\frac{k_l^{(\pm)}}{k_m^{(\pm)}} \right)^2 - 1 \right]^{-1/2}.
 \end{aligned}$$

Для получения $A_{\Gamma X_2}^{(\pm)}$ [в условиях выполнения равенства (16)] достаточно заменить в фигурной скобке из (28), а также в определениях x^2 и $\beta_1^{(\pm)}$ массы $M_X^{(\pm)}$ на массы $m_X^{(\pm)}$ соответственно.

Обратные коэффициенты прохождения получаются с помощью формул [ср. с (12')]:

$$\begin{aligned}
 T_{\Gamma X_1}^{(\pm)}(\varepsilon') &= A_{\Gamma X_1}^{(\mp)} \frac{m_\Gamma^{(-)}}{m_X^{(\pm)}} V_0^{(\mp)} \frac{N_{\Gamma X} + \frac{1}{2} \pm \frac{1}{2}}{N_{\Gamma X} + \frac{1}{2} \mp \frac{1}{2}} \varepsilon'^{1/2}, \\
 T_{X_2 \Gamma}^{(\pm)}(\varepsilon') &= A_{\Gamma X_2}^{(\mp)} \frac{m_\Gamma^{(-)}}{(m_X^{(+)} M_X^{(+)})^{1/2}} V_0^{(\mp)} \frac{N_{\Gamma X} + \frac{1}{2} \pm \frac{1}{2}}{N_{\Gamma X} + \frac{1}{2} \mp \frac{1}{2}} \varepsilon'^{1/2}. \quad (29)
 \end{aligned}$$

В частном предельном случае, когда $V_\Gamma, \frac{M_X^{(-)}}{m_\Gamma^{(-)}} V_X \gg V_0$ (что сравнительно неплохо выполняется для реального GaAs/AlAs-гетероперехода, согласно данным [8]), выражение (28) заметно упрощается:

$$\begin{aligned}
 A_{\Gamma X_1}^{(\pm)} \simeq & \frac{2\sqrt{2} D_{\Gamma X}^2}{9\pi\hbar^2\rho\omega_{\Gamma X}} \left(N_{\Gamma X} + \frac{1}{2} \pm \frac{1}{2} \right) \frac{m_X^{(+)} M_X^{(-)} m_\Gamma^{(\pm)}}{(M_X^{(+)} m_\Gamma^{(-)})^{1/2}} \frac{V_0^{(\pm)^{1/2}}}{V_\Gamma V_X} \times \\
 & \times \left\{ \frac{1}{(V_\Gamma m_\Gamma^{(\pm)})^{1/2}} \left[1 + \left(\frac{V_X M_X^{(+)^2}}{V_\Gamma m_\Gamma^{(+)} M_X^{(-)}} \right)^{1/2} + \frac{V_X M_X^{(+)^2}}{2V_\Gamma m_\Gamma^{(+)} M_X^{(-)}} \right] + \right. \\
 & \left. + \frac{1}{(V_X M_X^{(-)})^{1/2}} \left[1 + \left(\frac{V_\Gamma m_\Gamma^{(-)^2}}{V_X m_\Gamma^{(+)} M_X^{(-)}} \right)^{1/2} + \frac{V_\Gamma m_\Gamma^{(-)^2}}{2V_X m_\Gamma^{(+)} M_X^{(-)}} \right] \right\}. \quad (28')
 \end{aligned}$$

Сравним $A_{\Gamma X}$, вычисленный по формуле (13), с $A_{\Gamma X_1}^{(\pm)}$, вычисленным по формуле (28'), используя нижеследующие значения параметров гетеропары GaAs/AlAs [7, 8]: $V_\Gamma = 1.04$ эВ, $V_X = 0.29$ эВ, $V_0 = 0.18$ эВ, $m_\Gamma^{(-)} = 0.067 m_0$, $m_\Gamma^{(+)} = 0.15 m_0$, $m_X^{(-)} = 0.24 m_0$, $m_X^{(+)} = 0.19 m_0$, $M_X^{(-)} = 1.3 m_0$, $M_X^{(+)} = 1.1 m_0$, $D_{\Gamma X} =$

$= 10^9$ эВ/см, $\hbar\omega_{\Gamma X} = 0.03$ эВ, $\rho = 5.31$ г/см³, $\alpha \approx 0.1 \cdot 10^{-8}$ эВ · см, m_0 — масса свободного электрона. Полагая $N_{\Gamma X} + \frac{1}{2} \pm \frac{1}{2} = 1$, имеем $A_{\Gamma X}^{(\pm)} / A_{\Gamma X} \approx 0.36$. Аналогично $A_{X_2}^{(\pm)} / A_{\Gamma X} \approx 0.415$. Отсюда следует, что поток из Γ -долины в три X -долины с участием рассеяния на междолинных фононах имеет тот же порядок величины, что и поток за счет бесфононного механизма, направленный только в X_1 -долину.

При термоэлектронной эмиссии из легированного GaAs-катода в высокомоментный $\text{Al}_x\text{Ga}_{1-x}\text{As}$ -объем «бесфононная» эмиссия и эмиссия с поглощением фонона при низких температурах ($T \ll \hbar\omega_{\Gamma X}$) описываются идентичными формулами вида

$$J \sim T^{\eta} e^{-V_0/T} \quad (30)$$

и все различие состоит в коэффициентах перед правой частью, которые относятся как $(2A_{\Gamma X} + A_{X_2})/A_{\Gamma X}$, где $A_{\Gamma X}$, вычислены при $N_{\Gamma X} + \frac{1}{2} \pm \frac{1}{2} = 1$. При высоких температурах ($T \geq \hbar\omega_{\Gamma X}$) становится сравнимым относительный вклад процессов с испусканием фононов, так что относительная интенсивность фононного канала примерно удваивается. При дальнейшем росте температуры эмиссия за счет фононного канала растет быстрее, чем «бесфононная» эмиссия, ввиду увеличения числа фононов $N_{\Gamma X}$.

При термоэлектронной эмиссии горячих электронов из GaAs в $\text{Al}_x\text{Ga}_{1-x}\text{As}$ относительный вклад бесфононного процесса при $T \ll \hbar\omega_{\Gamma X}$ может быть повышен за счет возникновения малого экспоненциального множителя для фононного процесса

$$\exp \left\{ -\hbar\omega_{\Gamma X} \left(\frac{1}{T} - \frac{1}{T_e} \right) \right\},$$

где $T_e > T$, T_e — электронная температура Γ -электронов. Если указанный фактор достаточен, чтобы сделать «бесфононную» эмиссию в некотором диапазоне T_e доминирующей, то эксперимент с эмиссией горячих электронов мог бы детерминировать $A_{\Gamma X}$ (и, следовательно, $A_{X_2}^{(\pm)}$).

Другим детерминирующим экспериментом могла бы стать автоэлектронная фаулер-нордхеймовская эмиссия через треугольный $\text{Al}_x\text{Ga}_{1-x}\text{As}$ -барьер из GaAs-катода, о которой уже говорилось в [6] в связи с иным механизмом междолинного рассеяния электронов. (В [6] вычислен вклад рассеяния на сплаве, которое отсутствует при $x=1$, т. е. в случае гетероперехода GaAs/AlAs. Рассмотренный здесь механизм дает вклад и в этом случае, так что эксперименты при разных x могли бы указать вклад каждого из механизмов). При автоэлектронной эмиссии доминируют процессы с участием междолинного рассеяния в X_2 -долине из-за малости поперечной эффективной массы m_X^{\perp} (по сравнению с $M_X^{(+)}$), так что бесфононный процесс подавлен.

Список литературы

- [1] Грибников З. С. // ФТП. 1972. Т. 6. В. 7. С. 1380—1382.
- [2] Hess K., Morkoc H., Shichijo H., Streetman B. G. // Appl. Phys. Lett. 1979. V. 35. N 6. P. 469—471.
- [3] Marsh A. C. // Sem. Sci. Technol. 1986. V. 1. N 5. P. 320—326.
- [4] Mendez E. E., Wang W. I., Gallego E., Goncalves de Silva C. E. T. // Appl. Phys. Lett. 1987. V. 50. N 18. P. 1263—1265.
- [5] Bonnefond A. R., McGill T. C., Burnham R. D., Anderson G. B. // Appl. Phys. Lett. 1987. V. 50. N 6. P. 344—346.
- [6] Price P. J. // Surf. Sci. 1988. V. 196. P. 394—398.
- [7] Liu H. C. // Appl. Phys. Lett. 1987. V. 51. N 13. P. 1019—1021.
- [8] Adachi S. // J. Appl. Phys. 1985. V. 58. N 3. P. R1—R29.